

## 실린더에 존재하는 축방향 표면균열에 대한 공학적 $J$ -적분식 (II) - 최적참조응력에 기초한 방법 -

김진수\*· 김윤재\*· 김영진†

(2002년 5월 3일 접수, 2002년 8월 16일 심사완료)

### Engineering $J$ -Integral Estimation for Internal Axial Surface Cracks in Cylinders (II) -Optimised Reference Stress Based Estimation-

Jin-Su Kim, Yun-Jae Kim and Young-Jin Kim

**Key Words :** Axial Surface Crack(축방향 표면 균열),  $J$  Estimation( $J$  예측), Finite Element Analysis (유한요소해석), Reference Stress(참조 응력), Internal Pressure(내압)

#### Abstract

This paper provides an reference stress based  $J$  estimation equation for cylinders with finite internal axial surface cracks under internal pressure. In part I, the  $J$  estimation equation based on deformation plasticity using Ramberg-Osgood (R-O) materials is proposed. In this paper, the developed GE/EPRI-type solutions are then re-formulated based on the reference stress concept. Such a re-formulation provides a simpler equation for  $J$ , which are then further extended to combined internal pressure and bending. The proposed reference stress based  $J$  estimation equation is compared with elastic-plastic 3-D FE results using actual stress-strain data for a Type 304 stainless steel. Good agreement between the FE results and the proposed reference stress based  $J$  estimations provides confidence in the use of the proposed method to elastic-plastic fracture mechanics of pressurised piping.

#### 1. 서 론

Part I<sup>(1)</sup>에서는 실린더에 존재하는 축방향 표면균열에 대한  $J$ -적분 예측식을 변형 소성(deformation plasticity) 이론에 기초한 GE/EPRI 방법<sup>(2,3)</sup>에 근거하여 제시하였다. 이 방법은  $J$ -적분을 계산하기 위해 소성역 영향함수(plastic influence function)를 사용한다. 소성역 영향함수는 균열 형상 및 변형률을 경화지수(strain hardening exponent)의 영향을 받는다. Part I에서는 다양한 3 차원 유한요소해석으로부터  $J$ -적분 예측에 필요한 소성역 영향함수를 얻었으며, 균열형상, 균열각 위치 및 변형률을 경화지수에 따른 값을 테이블화하여 나타내었다. 이 방

법은 변형 소성 이론을 따르는 재료에 대해서는 매우 정확한 예측결과를 나타낸다.

그러나 변형소성이론에 기초한 방법은 많은 문제점을 안고 있다. 첫째, 이 방법은 재료 인장 데이터를 R-O(Ramberg-Osgood) 재료로 이상화하기 때문에, R-O 이상화 방법에 매우 민감하다. 일반적으로 R-O 이상화 방법은 실제 재료에 대한 인장 데이터를 제대로 모사하지 못하며, 따라서  $J$ -적분 계산시 부정확한 계산결과를 초래할 수 있다.<sup>(4,5)</sup> 둘째, 소성역 영향함수를 계산하기 위해 많은 유한요소해석이 필요하므로 복합 하중과 같이 복잡한 문제에 대해서는 적용하기 매우 어렵다. 셋째, 각 균열각에 따른  $J$ -적분을 예측하기 위해서는 해당 위치에서의 소성역 영향함수가 필요하므로 임의의 균열각에 대한  $J$ -적분 예측이 매우 어렵다. 넷째, 고온 크리프 거동을 보이는 일반 재료에 대한  $C^*$ -적분 예측시, 부정확한 결과를 초래한다. 다섯째, 확률론적 해석을 효율적으로 수행하기 위해

\* 회원, 성균관대학교 기계공학부

† 책임저자, 회원, 성균관대학교 기계공학부

E-mail : yjkim@yurim.skku.ac.kr

TEL : (031)290-5274 FAX : (031)290-5276

서는 간단하면서 정확한 예측식이 필요하다. 그러나 이 방법은 매우 복잡하며 특히 소성역 영향 힘수를 결정하기 위해 내삽(interpolation) 등의 많은 노력이 필요하다.

따라서 본 연구에서는 기존 방법의 단점을 보완한 새로운  $J$ -적분 예측식을 제시하고자 한다. 이 방법은 변형 소성에 기초한 방법에 참조응력(reference stress)<sup>(6)</sup> 개념을 도입한 것이다. 이를 위해 Part I의 결과를 재정리하여 새로운 개념의 참조 응력을 정의하였으며, 이로부터 간편하고 정확한  $J$ -적분 예측식을 제시하였다. 제시된  $J$ -적분 예측식은 유한요소해석결과와 비교하여 타당성을 입증하였다.

## 2. $J$ -적분 예측식

본 연구에서는 Fig. 1과 같이 내압  $p$ 를 받는 배관에 존재하는 축방향 반타원 균열에 대한  $J$ -적분 예측식을 제시하고자 한다.

R-O 재료의 경우,  $J$ -적분의 소성성분  $J_p$ 는 균열 각 위치  $\phi$ 에 대해 다음과 같다.<sup>(2)</sup>

$$J_p(\phi) = \alpha \frac{\sigma_y^2}{E} (t-a) h_i \left( \frac{R_m}{t}, \frac{a}{t}, \rho, \phi; n \right) \left( \frac{p}{p_L} \right)^{n+1} \quad (1)$$

여기서,  $\rho$ 는 식 (2)로 정의되는 무차원 균열길이,  $h_i$ 은 소성역 영향함수로 Part I의 Table 2~4에 제시되어 있다.

$$\rho = \frac{c}{\sqrt{R_m t}} \quad (2)$$

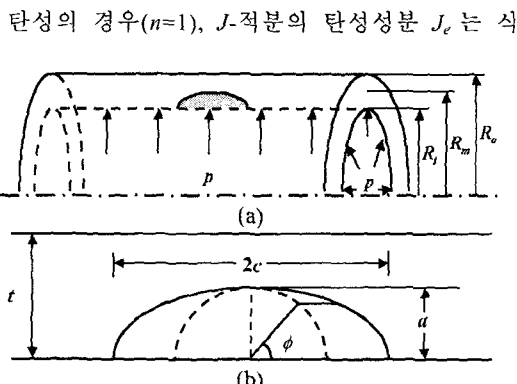


Fig. 1 Schematic illustration for a cylinder with a finite internal axial surface crack, under internal pressure  $p$ : (a) cylinder geometry and (b) crack geometry

(1)에서부터 다음과 같이 나타낼 수 있다.

$$J_e(\phi) = \alpha \frac{\sigma_y^2}{E} (t-a) h_i(\phi; n=1) \left( \frac{p}{p_L} \right)^2 \quad (3)$$

여기서  $h_i(\phi, n=1)$ 은 탄성 재료( $n=1$ )에 대해 균열각  $\phi$ 에서의 소성 영향 힘수이며, Part I의 Table 1로부터 결정할 수 있다. 식 (1)을 식 (3)으로 무차원화하면 다음과 같다.

$$\frac{J_p(\phi)}{J_e(\phi)} = \alpha \frac{h_i(\phi, n)}{h_i(\phi, n=1)} \left[ \frac{p}{p_L} \right]^{n-1} \quad (4)$$

Fig. 2는  $n$ 에 대한  $h_i(\phi, n)/h_i(\phi, n=1)$ 값의 변화를 나타낸 것이다.  $h_i(\phi, n)/h_i(\phi, n=1)$ 은  $R_m/t$ ,  $a/t$ ,  $\rho$  및  $n$ 에 매우 민감하며 균열각 위치( $\phi$ , Fig. 1(b))에 따라서도 매우 크게 변화한다.

$p_L$  대신 새로운 무차원 하중인  $p_{ref}$ 를 도입하여 식 (4)를 정리하면 다음과 같다.

$$\frac{J_p(\phi)}{J_e(\phi)} = \alpha \left\{ \frac{h_i(n, \phi)}{h_i(n=1, \phi)} \left[ \frac{p_{ref}}{p_L} \right]^{n-1} \right\} \left[ \frac{p}{p_{ref}} \right]^{n-1} \quad (5)$$

여기서  $h_i(n, \phi)/h_i(n=1, \phi)$  와  $p_{ref}/p_L$ 는 무차원 변수이다. 식 (5)를 정리하면 다음과 같이 나타낼 수 있다.

$$\frac{J_p(\phi)}{J_e(\phi)} = \alpha H_l \left[ \frac{p}{p_{ref}} \right]^{n-1} \quad (6)$$

여기서  $H_l$ 은  $R_m/t$ ,  $a/t$ ,  $\rho$ ,  $\phi$  및  $n$ 의 함수이다. 본 연구에서 제시한  $J$ -적분 예측식의 기본 개념은  $p_{ref}$ 을 적절히 정의함으로써  $H_l$ 에 대한  $R_m/t$ ,  $a/t$ ,  $\rho$ ,  $\phi$  및  $n$ 의 영향을 최소할 수 있다는 것이다.<sup>(6,7)</sup> 본 연구에서는 이러한  $p_{ref}$ 을 최적참조하중(optimized reference load)  $p_{oR}$ 이라 정의하였다.  $p_{oR}$  결정에 대한 보다 자세한 설명은 저자의 전보<sup>(8)</sup>에 기술되어 있다. Part I에서 수행한 유한요소해석결과를 재정리하여  $p_{oR}$ 을 다음과 같이 제시하였다.

$$p_{oR} = [A \ln(\rho) + B] \sigma_y \frac{t}{R_m} \quad (7)$$

$$A = \left[ -1 + 0.847 \tanh \left( 0.352 \frac{R_m}{t} \right) \right] \frac{a}{t} + 0.006$$

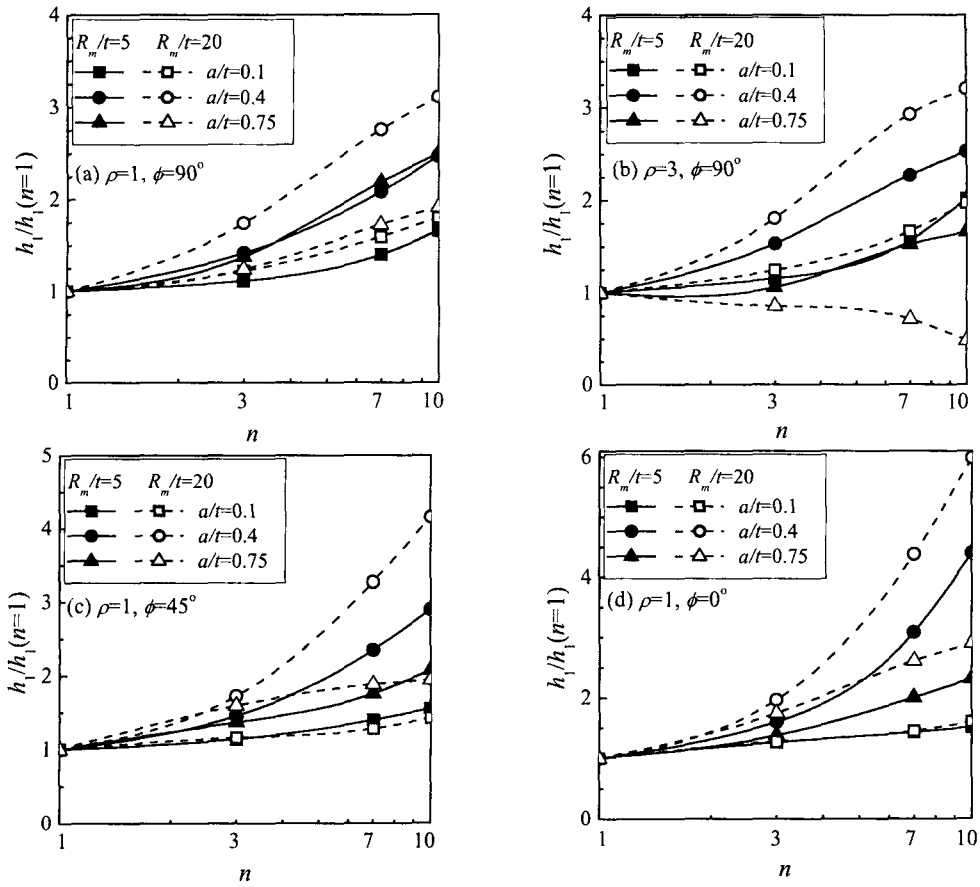


Fig. 2 Variations of  $h_l(n)/h_l(n=1)$  values with  $n$  for various values of  $R_m/t$  and  $a/t$ : (a)  $\rho=1, \phi=90^\circ$  (b)  $\rho=3, \phi=90^\circ$  (c)  $\rho=1, \phi=45^\circ$  and (d)  $\rho=3, \phi=0^\circ$

$$B = \left[ -1 + 0.751 \tanh\left( 0.256 \frac{R_m}{t} \right) \right] \frac{a}{t} + 2 - 0.98 \tanh\left( 0.312 \frac{R_m}{t} \right)$$

식 (7)의 마지막 항은 원주방향 응력에 대한 균열없는 실린더의 한계하중이다. 식 (7)은 유한요소 해석결과에 기초하고 있기 때문에  $0.1 \leq a/t \leq 0.75$ ,  $0.5 \leq \rho \leq 3.0$ 인 경우에 유효하다. 그러나 이 식은 실제 균열 형상 범위인  $0.05 \leq a/t \leq 0.8$ ,  $0.3 \leq \rho \leq 4.0$ 까지 외삽하여 확대 적용할 수 있다고 판단된다.

Fig. 3은 식 (6)에서  $p_{ref}=p_{oR}$ 이라 할 때,  $H_l$  값의 변화를 나타낸 것이다. Fig. 3에서  $H_l$ 의 변화폭은  $h_l(n, \phi)/h_l(n=1, \phi)$ 에 비해 매우 적다. 균열 최심점 ( $\phi=90^\circ$ )의 경우,  $n$ 에 대하여  $h_l(n, \phi)/h_l(n=1, \phi)$  값이 0.5~3.5로 변화하는데 비하여  $H_l$ 은 0.5~1.4로 변화한다. 가장 큰 변화폭을 가지는 표면점 ( $\phi=0^\circ$ )의 경우,  $h_l(n, \phi)/h_l(n=1, \phi)$  값이 0.8~6.0로 변화하지만  $H_l$ 은 0.6~1.8로 변화한다. 따라서 식 (6)에서  $H_l$

은  $h_l(n, \phi)/h_l(n=1, \phi)$ 에 비해 상대적으로 1에 가까워지므로 식 (6)은 다음과 같이 근사화할 수 있다.

$$\frac{J_p}{J_e} = \alpha \left[ \frac{p}{p_{oR}} \right]^{n-1} \quad (8)$$

식 (8)은  $H_l$  값이  $R_m/t$ 와  $n$ 에 대하여 조금씩 변화하므로 정확한 것은 아니다. 그러나 식 (8)은 공학적으로 근사화된 값이며, 3장에서 식 (8)에 대한 타당성을 입증할 예정이다. 이러한 참조응력을 이용한 방법의 가장 큰 장점은 일반 응력-변형률 선도에 적용할 수 있다는 것이다.

R-O 재료의 경우, 소성 변형률은 다음과 같이 나타낼 수 있다.

$$\varepsilon_p = \alpha \frac{\sigma}{E} \left( \frac{\sigma}{\sigma_y} \right)^{n-1} \quad (9)$$

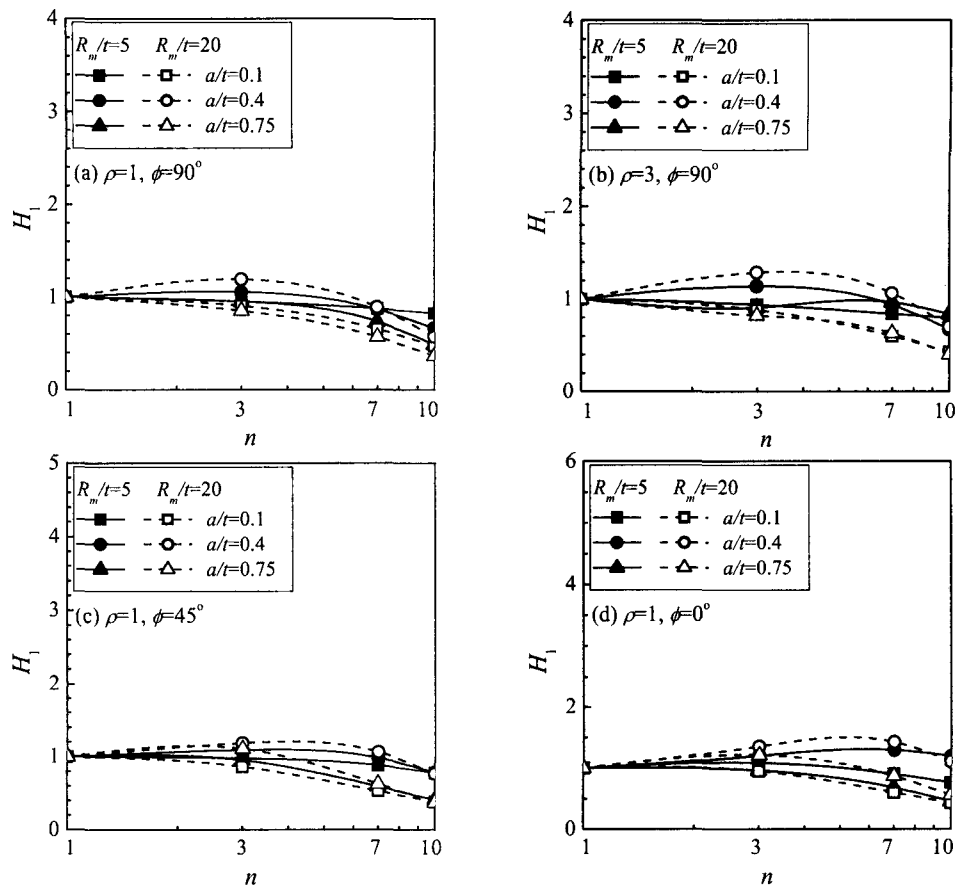


Fig. 3 Variations of  $H_l$  values with  $n$  for various values of  $R_m/t$  and  $a/t$ : (a)  $\rho=0.5$ ,  $\phi=90^\circ$ , (b)  $\rho=1$ ,  $\phi=90^\circ$ , (c)  $\rho=2$ ,  $\phi=45^\circ$  and (d)  $\rho=3$ ,  $\phi=0^\circ$

참조 응력  $\sigma_{ref}$  와 참조 변형률  $\varepsilon_{ref}$  을 도입하여 식 (8)과 식 (9)를 정리하면 다음과 같이 나타낼 수 있다.

$$\frac{J_p}{J_e} = \frac{E\varepsilon_{ref}}{\sigma_{ref}} ; \sigma_{ref} = \frac{p}{p_{oR}} \sigma_y \quad (10)$$

여기서  $\sigma_y$ 는 0.2% 합복응력이며,  $\varepsilon_{ref}$ 은  $\sigma=\sigma_{ref}$ 일 때 응력-변형률 선도에서 얻어지는 진변형률(true strain)이다. 식 (10)은 근사화된 것으로 정확성은 다소 낮아질 수 있다. 그러나 이 방법은 일반재료 거동에 대해 적용할 수 있을 뿐만 아니라 매우 단순하다. 식 (10)은 소성  $J$ -적분식을 나타내며 전체  $J$ -적분은 소성역 보정을 포함한 탄성 성분을 추가하여 나타낼 수 있다.<sup>(9)</sup>

$$\frac{J}{J_e} = \frac{E\varepsilon_{ref}}{\sigma_{ref}} + \frac{1}{2} \left( \frac{\sigma_{ref}}{\sigma_y} \right)^2 \frac{\sigma_{ref}}{E\varepsilon_{ref}} ; \sigma_{ref} = \frac{p}{p_{oR}} \sigma_y \quad (11)$$

본 연구에서는 참조응력에 기초한 이러한 방법을 개선된 참조응력법(enhanced reference stress method; ERSM)이라 정의하였다.

### 3. 유한요소해석을 통한 검증

본 연구에서 제시한  $J$ -적분 예측식의 타당성을 입증하기 위해 다양한 검증을 수행하였다. 이를 위해 먼저 TP304 스테인리스강에 대한 실제 응력-변형률 데이터<sup>(10)</sup>를 이용하여 3 차원 탄소성 유한요소해석을 수행하였으며, 이를 예측결과와 비교하였다.  $J$ -적분에 영향을 미치는 인자 중 균열 깊이  $a$  ( $a/t$ )는 0.2, 0.5, 균열길이 ( $\rho$ )는 0.5, 3로 변화시

졌다. 또한 실린더 반경( $R_m/t$ )은 5, 20으로 변화시켜 총 8 가지 경우에 대한 해석을 수행하였다. 유한요소해석은 범용 유한요소해석 프로그램인 ABAQUS<sup>(11)</sup>를 사용하였다. 유한요소모델은 Fig. 4와 같이 대칭성을 고려하여 1/4 만을 모델링하였으며 20 절점 등사각주요소(20-node isoparametric quadratic brick element; C3D20R)를 사용하여 1,800 개의 요소(element)와 8,817 개의 절점(node)으로 구성하였다. 내압 작용시, 배관 끝단에 압력에 해당하는 인장하중을 가하였으며, 균열면 압력 효과를 고려하였다.

$J$ -적분은 ABAQUS에서 제공하는 영역적분법을 이용하여 유한요소해석결과로부터 계산하였다. 계산된  $J$ -적분은 경로 독립성이 잘 유지되었으며, 2~5 번째 경로에 대한 평균값으로부터 결정하였다.

Fig. 5, 6은 각각  $R_m/t=5, 20$ 인 경우에 대해 유한요소해석결과와 ERSM 결과를 비교한 것이다. 그림에서  $J$ -적분은  $\sigma_y$ 와  $c$ 로 무차원화하였으며, 작용하중은 최적참조압력  $p_{oR}$ 로 무차원화하였다. 고압의 경우 소성붕괴로 인해  $J$ -적분은 유효성을 상실하기 때문에  $p/p_{oR}=1.5$  까지 나타내었다. Fig. 5, 6에 나타낸 바와 같이 유한요소해석결과와 예측결과는 대부분 잘 일치하였다. 특히 균열각 위치에 대해 동일한 최적참조하중을 사용함에도 불구하고, 각 균열각( $\phi=90^\circ, 45^\circ, 0^\circ$ )에 대한 예측결과는 유한요소해석결과와 잘 일치하였다. 따라서 본 연구에서 제시한  $J$ -적분 예측식은 식 (11)과 같이 매우 간단함에도 불구하고 균열각 임의의 위치에 대한  $J$ -적분을 매우 정확히 예측할 수 있다. Fig. 5, 6에서 깊고 긴 균열인  $a/t=0.5, \rho=3$ 인 경우, 부정확한 예측결과를 나타낸다. 그러나 이러한 균열은 매우 극단적인 경우로 실제 구조물에서 발생하는 중요한 균열은 아니며, 또한 예측결과가 유한요소해석결과를 보수적으로 예측하므로 충분히 무시될 수 있다.

#### 4. 토의

본 연구에서는 내압 하중하에서 축방향 균열이 존재하는 실린더에 대한 공학적  $J$ -적분 예측식을 ERSM에 기초하여 제시하였다. 제시된 식은 일반재료에 대한 3 차원 유한요소해석결과와 비교하여 타당성을 입증하였다.

본 연구에서 제시한 방법은 기존의 소성한계하중 대신 최적참조하중을 참조응력으로 정의하였다. 일반적으로 최적참조하중  $p_{oR}$ 은 소성한계하중해와 차이가 크지 않다. Fig. 7은 제시된  $p_{oR}$  해와 기존의 한계하중해를 비교한 것이다. 사용된 소성한계하

중해는 유한요소해석으로부터 얻은 식<sup>(12)</sup> (12)과 Battelle 해<sup>(13)</sup>이다.

$$p_L = \frac{2}{\sqrt{3}} \sigma_y \frac{t}{R_m} \left[ 1 + A_1 \left( \frac{a}{t} \right) + A_2 \left( \frac{a}{t} \right)^2 \right] \quad (12)$$

$$A_1 = 0.0462 - 0.0569\rho - 0.013\rho^2$$

$$A_2 = 0.0395 - 0.3413\rho + 0.0652\rho^2$$

식 (12)는 3 차원 유한요소해석으로부터 얻은 광범위 항복(global yielding)에 기초한 식이다. Battelle 해는 배관 실험 결과에 기초한 경험식으로 다음과 같다.

$$p_L = \sigma_y \frac{t}{R_m} \left[ \frac{(1-a/t)}{1 - \frac{(1-a/t)}{\sqrt{1+1.05\rho^2}}} \right] \quad (13)$$

이 식은 국부 소성 붕괴에 기초한 식이므로  $a/t \rightarrow 1$  이면 0을 나타낸다.  $p_{oR}$ 과 두 한계하중해를 비교하면 얇은 균열에 대해서는  $p_{oR}$  해가 국부 한계하중해와 가까우며 깊은 균열에 대해 광범위 한계하중해와 유사하게 나타난다.

본 연구에서 제시한 식은 내압에 대해 적용할 수 있을 뿐만 아니라 내압과 굽힘 모멘트가 동시에 존재하는 경우에 대해서도 쉽게 확대 적용할 수 있다. 일반적으로 굽힘 하중은 축방향 표면균

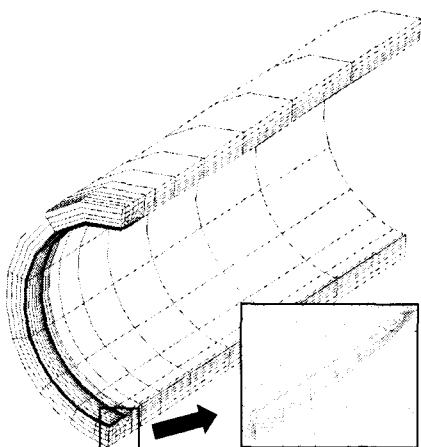


Fig. 4 Typical finite element meshes for cylinders with finite internal axial surface axial cracks:  $R_m/t=5$ ,  $a/t=0.1$  and  $\rho=0.5$

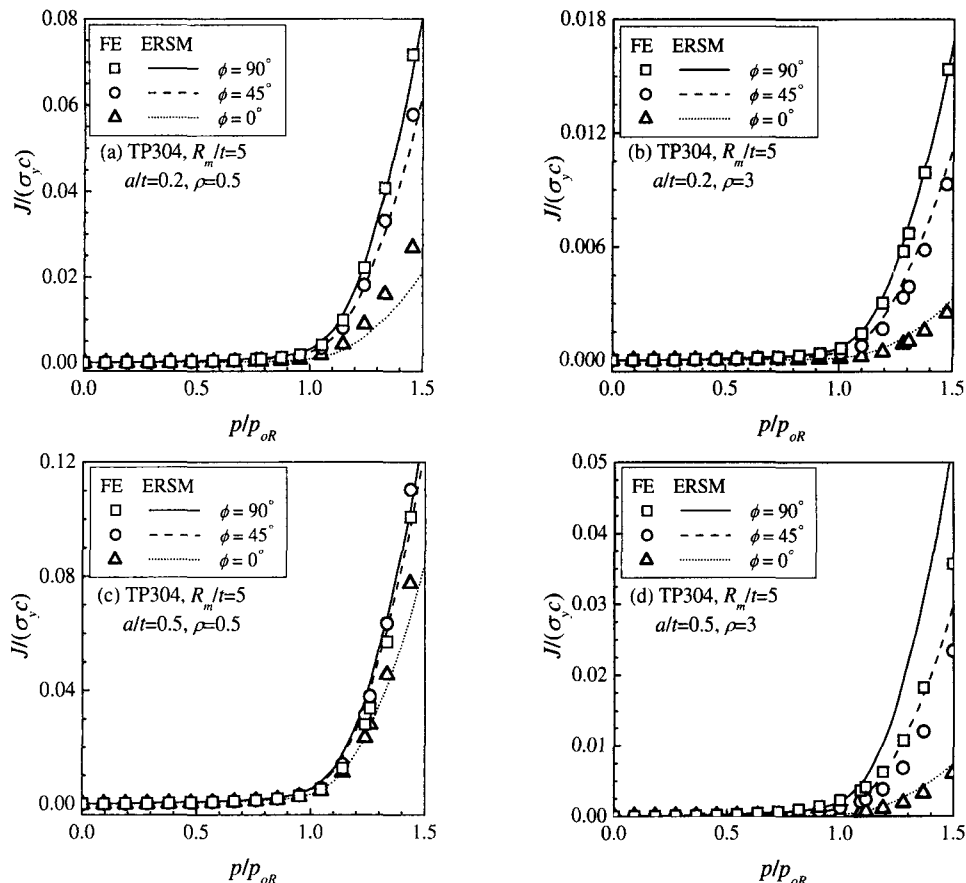


Fig. 5 Comparison of FE  $J$  results for cylinders with finite internal axial surface cracks under internal pressure with the proposed enhanced reference stress based  $J$  estimations at three different locations along the crack front,  $\phi=90^\circ$  (deepest),  $\phi=45^\circ$  (mid) and  $\phi=0^\circ$  (surface). The cylinder geometry is fixed to  $R_m/t=5$

열이 존재하는 실린더의 소성 한계하중에 매우 적은 영향을 미친다.<sup>(14)</sup> 본 연구에서 제시한 ERSM은 Fig. 3과 같이 소성 한계하중과 유사하므로 본 연구에서 제시한  $J$ -적분 예측식은 내압과 굽힘 하중이 동시에 작용하는 경우에 확대 적용할 수 있다. 이 경우에 대한 검증은 수행하지 않았으나 축방향 관통 균열에 대해 유사한 연구가 수행된 바 있다.<sup>(15)</sup> 해석결과 예상한 바와 같이  $J$ -적분에 대한 굽힘 모멘트의 영향은 미약하다.

고온 환경하의 균열 실린더에 대한 안전성 평가를 위해서는 크리프 균열 성장에 대한  $C^*$ -적분의 계산이 필수적이다.<sup>(16,17)</sup> 이 경우, 일반 크리프 거동을 보이는 재료에 대한  $C^*$ -적분은 본 연구에서 제시한  $J$ -적분 예측식으로부터 다음과 같이 예측될 수 있다.<sup>(17)</sup>

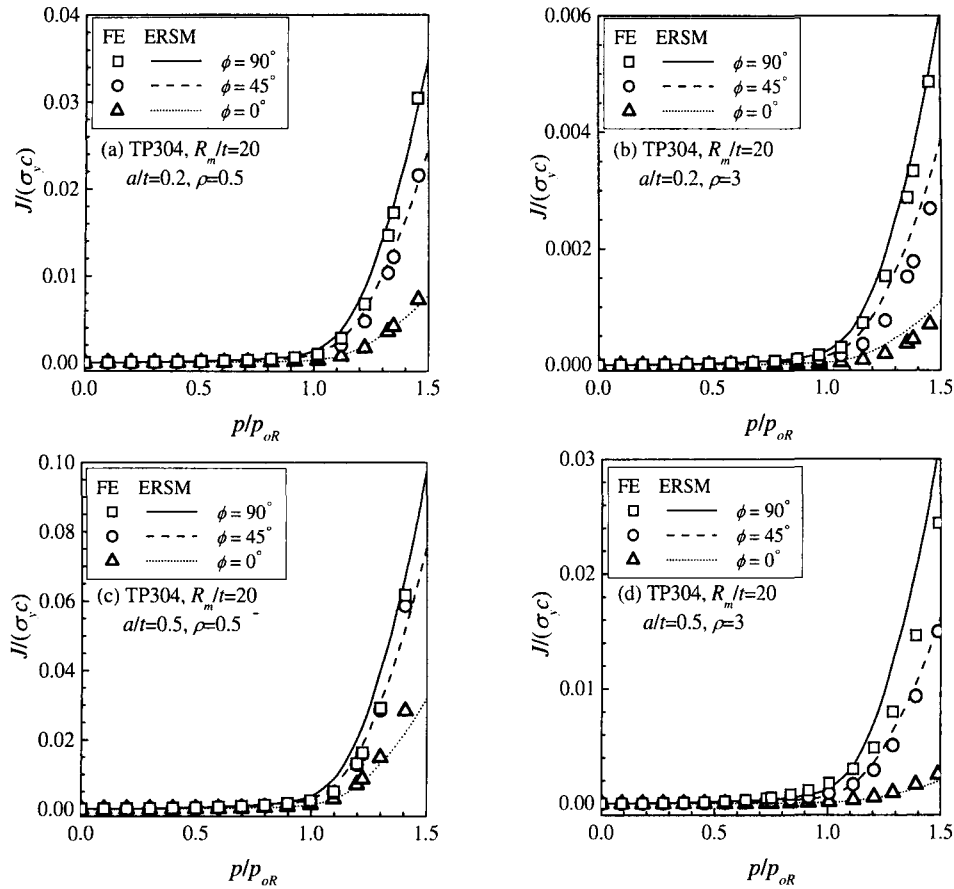
$$C^* = \left( \frac{E}{E'} \right) \cdot \frac{K^2 \dot{\epsilon}_c}{\sigma_{ref}} \quad (14)$$

여기서  $\dot{\epsilon}_c$ 는  $\sigma=\sigma_{ref}$ 일 때 실제 크리프 변형률 데이터로부터 얻어지는 크리프 변형률 속도(creep strain rate)이다.

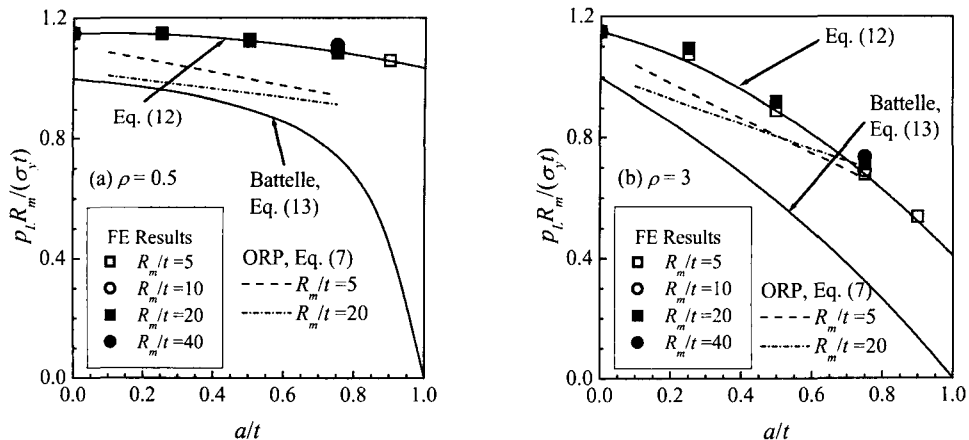
확률론적 파괴역학해석을 수행하기 위해서는 많은  $J$ -적분 및  $C^*$ -적분 계산이 필요하며 따라서 기존 변형소성에 기초한 방법은 적용하기 매우 어렵다. 본 연구에서는 제시한 예측식은 매우 간단하면서도 실제 재료에 대한  $J$ -적분 및  $C^*$ -적분을 정확히 예측<sup>(18)</sup>하므로 확률론적 파괴역학해석에 꼭넓게 사용될 수 있다.

## 5. 결 론

본 연구에서는 실린더에 존재하는 축방향 표면균열에 대한 공학적  $J$ -적분 예측식을 제시하였다.  $J$ -적분 예측식은 일반 응력-변형률 선도에 적용할 수 있도록 ERSM을 도입하여 제시하였다. 이를



**Fig. 6** Comparison of FE  $J$  results for cylinders with finite internal axial surface cracks under internal pressure with the proposed enhanced reference stress based  $J$  estimations at three different locations along the crack front,  $\phi=90^\circ$  (deepest),  $\phi=45^\circ$  (mid) and  $\phi=0^\circ$  (surface). The cylinder geometry is fixed to  $R_m/t=20$



**Fig. 7** Comparison of the FE limit pressure solutions for cylinders with finite internal axial surface cracks under internal pressure with the FE solutions in Ref. (13): (a)  $\rho=0.5$ , (b)  $\rho=3$ . In the figure, “ORP” denotes optimised reference pressure

위해 Part I에서 수행된 유한요소해석결과를 재정리하여 최적참조하중을 정의하였으며, 최적참조하중으로부터  $J$ -적분 예측식을 새롭게 제시하였다. 제시된  $J$ -적분 예측식은 균열선단 임의의 위치에서뿐만 아니라 내압과 굽힘 모멘트가 동시에 작용하는 경우에 대해 확대 적용할 수 있다. 제시한 식의 타당성을 입증하기 위하여 TP304 스테인리스 강에 대한 실제 응력-변형률 선도를 사용한 3 차원 유한요소해석결과와 비교하였다.  $J$ -적분 예측결과와 유한요소해석결과는 잘 일치하였으며, 이를 통해 제시된 식의 타당성을 입증하였다. 본 연구에서 제시한 식은 균열선단 임의의 위치에 대해  $J$ -적분 및  $C^*$ -적분을 예측할 수 있으며, 매우 간단 하므로 확률론적 파괴역학해석에 쉽게 적용할 수 있다.

## 후기

본 논문은 한국과학재단 산하 성균관대학교 산업설비 안전성 평가 연구센터의 연구비 지원으로 이루어진 것으로서, 이에 관계자 여러분들께 감사드립니다.

## 참고문헌

- (1) Kim, J.S., Kim, Y.J., Park, Y.J. and Kim, Y.J., 2002, "Engineering  $J$ -Integral Estimation for Internal Axial Surface Cracks in Cylinder (I)-Deformation Plasticity Based Estimation," *Transactions of the KSME, A*, Vol. 26, No. 8, pp. 1672~1679.
- (2) Kumar, V. and German, M.D., 1988, *Elastic-Plastic Fracture Analysis of Through-Wall and Surface Flaws in Cylinders*, EPRI Report, NP-5596.
- (3) Zahoor, A., 1991, *Ductile Fracture Handbook*, Vol. 2 Chapter 6 Axial Through-Wall Crack, Novatech Corp.
- (4) Rahman, S., Brust, F., Ghadiali, N., Choi, Y.H., Krishnaswamy, P., Moberg, F., Brickstad, B. and Wilkowski, G., 1995, "Refinement and Evaluation of Crack Opening Area Analyses for Circumferential Through-Wall Cracks in Pipes," NUREG report NUREG/CR-6300, Battelle, OH.
- (5) Kim, Y.J., Huh, N.S. and Kim, Y.J., 2001, "Enhanced Reference Stress Based  $J$  and COD Estimation Method for LBB Analysis and Comparison with GE/EPRI Method," *Fatigue and Fracture of Engineering Materials and Structures*, Vol. 24, pp. 243~254.
- (6) Ainsworth, R.A., 1984, "The Assessment of Defects in Structures of Strain Hardening Materials," *Engineering Fracture Mechanics*, Vol. 19, pp. 633~642.
- (7) Kim, Y.J., Huh, N.S. and Kim, Y.J., 2002, "Pressure Induced Hoop Stress Effect on Fracture Analysis of Circumferential Through-Wall Cracked Pipes," *Engineering Fracture Mechanics* (to appear).
- (8) R6, 2000, *R6: Assessment of the Integrity of Structures Containing Defects*, Revision 3, British Energy Generation Ltd.
- (9) Kim, J.S., Kim, Y.J. and Kim Y.J., 2002, "Fracture Behavior Estimation for Circumferential Surface Cracked Pipes (I) - $J$ -Integral Estimation Solution -," *Transactions of the KSME, A*, Vol. 26, No. 1, pp. 131~138.
- (10) Kim, Y.J., Seok, C.S., Jun, H.K., Choi, Y.H. and Lee, J.B., 1996, "Development of Nuclear Piping Integrity Expert System (I) -Evaluation Method Recommendation and Material Properties Inference-," *Transactions of the KSME, A*, Vol. 20, No. 8, pp. 575~584.
- (11) ABAQUS, 1999, *ABAQUS Standard/User's Manual*, Hibbit, Karlsson & Sorensen, Inc, RI.
- (12) Kim, Y.J., Shim, D.J., Huh, N.S. and Kim, Y.J., 2001, "Plastic Limit Pressure for Cracked Cylinders Using Finite Element Limit Analyses," *International Journal of Pressure Vessels and Piping* (to appear).
- (13) Kiefner, J.F., Maxey, W.A., Eiber, R.J. and Duffy, A.R., 1973, "Failure Stress Levels of Flaws in Pressurised Cylinders," in *Progress in Flaw Growth and Fracture Toughness Testing*, ASTM STP 536, pp. 461~81.
- (14) Miller, A.G., "Review of Limit Loads of Structures Containing Defects," *International Journal of Pressure Vessels and Piping*, Vol. 32, pp. 191~327.
- (15) Kim, Y.J., Huh, N.S., Park, Y.J. and Kim, Y.J., 2001, "Elastic-Plastic  $J$  and COD Estimations for Axial Through-Wall Cracked Pipes," *International Journal of Pressure Vessels and Piping* (to appear).
- (16) Webster, G.A. and Ainsworth, R.A., 1994, *High Temperature Component Life Assessment*, Chapman & Hall.
- (17) R5, 1998, *R5: Assessment Procedure for the High Temperature Response of Structures*, Issue 2, British Energy Generation Ltd.
- (18) Kim, J.S., Kim, Y.J. and Kim Y.J., 2002, "Estimation of  $C^*$ -Integral for Defective Components with General Creep Deformation Behaviors," *Transactions of the KSME, A*, Vol. 26, No. 5, pp. 795~802.